

# Turbo-E 160 T

Mixed-flow inline fans

- Tipo de rodete: Mixto
- Material de la carcasa: Plástico
- Instalación en cualquier posición
- Temporizador: Temporizador de apagado

| | Unidad de medida | Turbo-E 160 T | |
|---|---|---|---|
| Velocidad | - | 1 | 2 |
| Cantidad de fases | - | 1 | |
| Tensión mínima de alimentación | V | 230 | |
| Tensión máxima de alimentación | V | 230 | |
| Frecuencia de suministro de energía | Hz | 50/60 | |
| Caudal máximo de aire | m³/h | 405 | 520 |
| Peso | kg | 3.22 | |
| Temperatura máxima del aire transportado | °C | 60 | |
| Temperatura mínima del aire transportado | °C | -25 | |
| Grado de protección IP | - | IPX4 | |
| Grado de protección IP del variador | - | IPX4 | |
| Material de rodete | - | Plástico | |

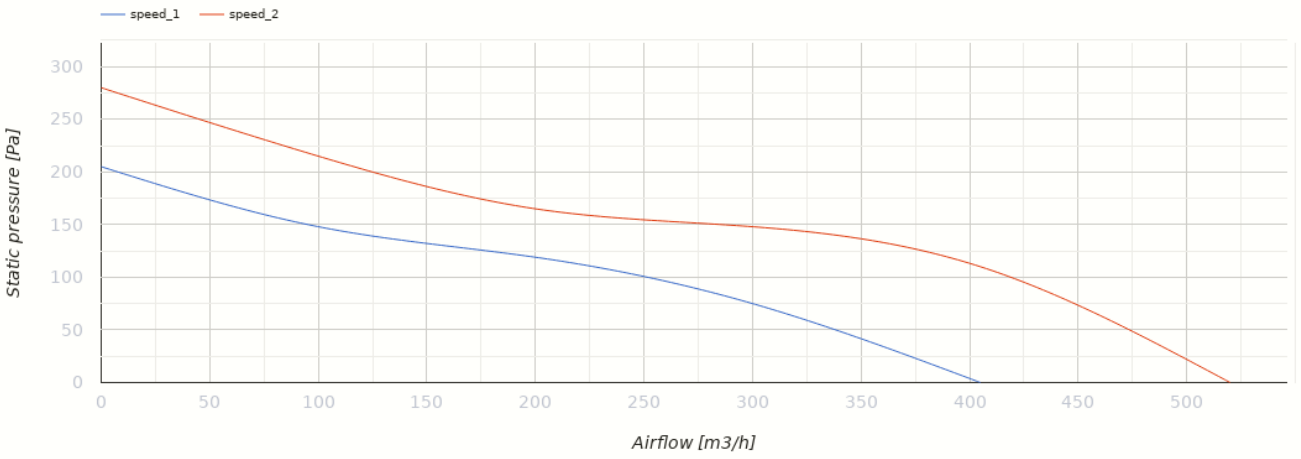


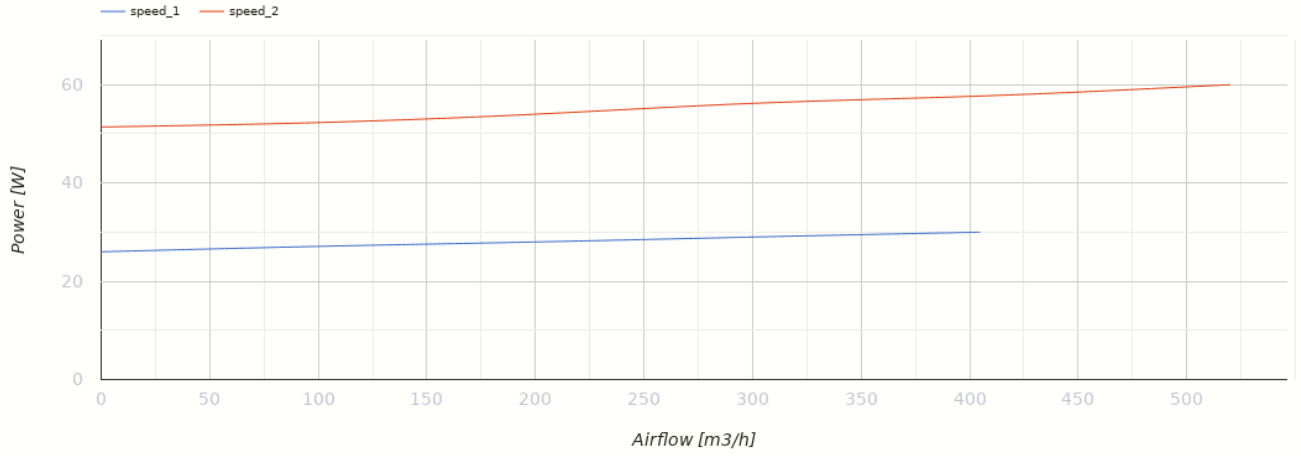


## Dimensiones

| Ø D | B | H | L |
|---|---|---|---|
| 158 | 233 | 265 | 295 |

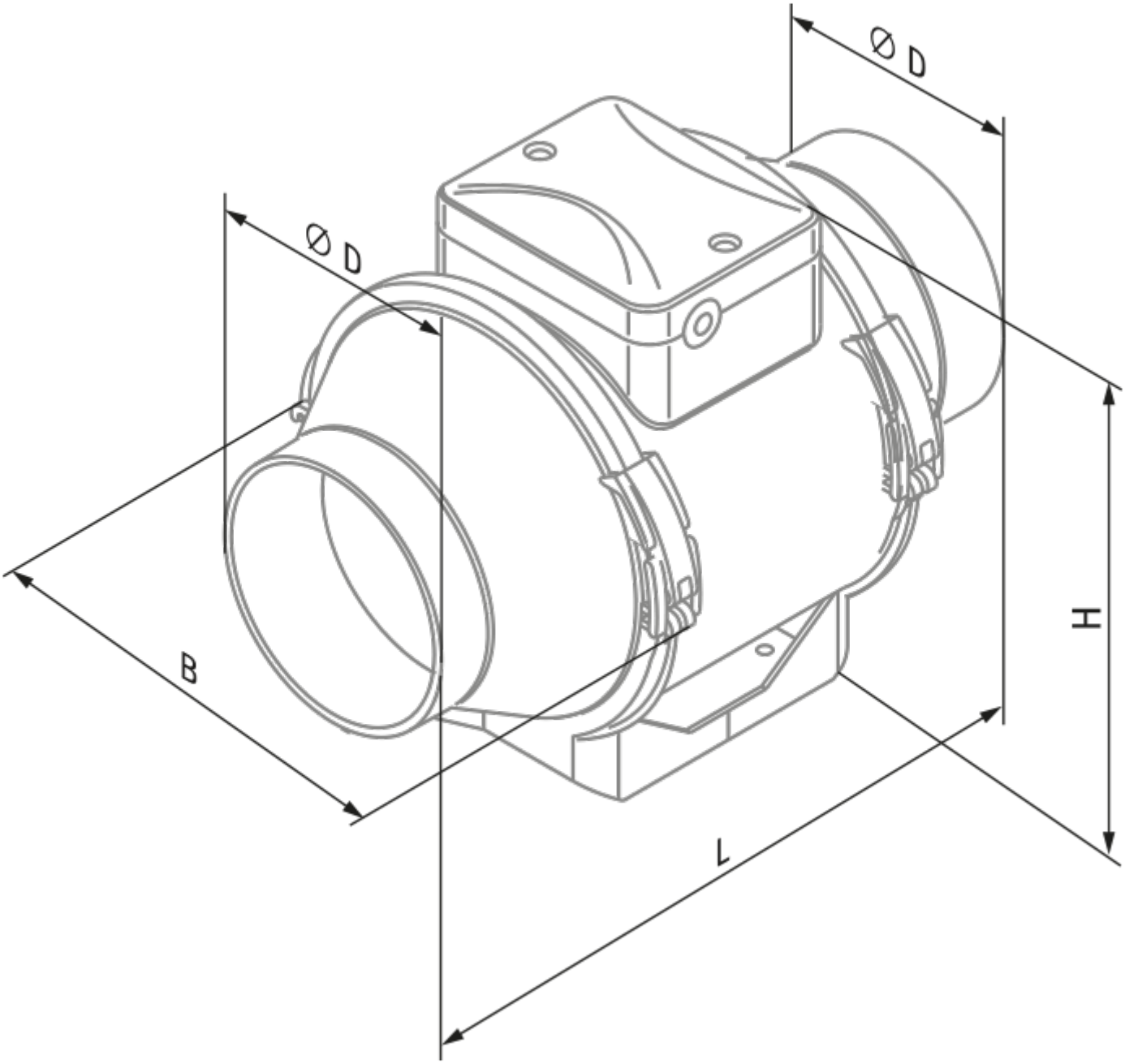
Ø D
Ø D
B
H
L

## Ecodesign

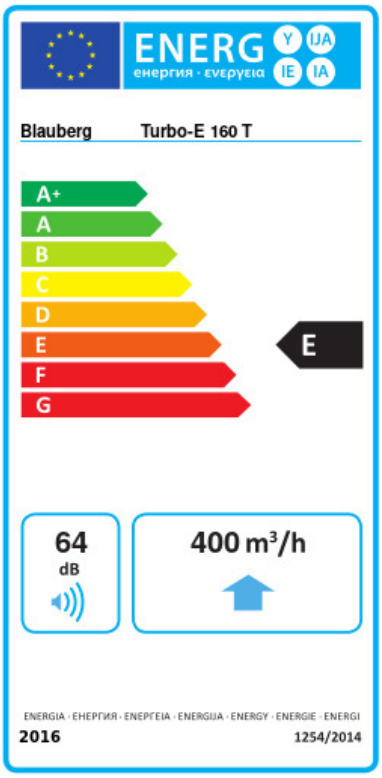


| | | | | | | |
|---|---|---|---|---|---|---|
| Trademark | Blauberg | | | | | |
| Model | Turbo-E 160 T | | | | | |
| Specific energy consumption (SEC) (kWh/(m²/a)) | Cold | | Average | | Warm | |
| | -53.9 | A+ | -26.8 | B | -11.3 | E |
| Tipo de unidad de ventilación | Unidireccional | | | | | |
| Tipo de accionamiento instalado | De velocidad variable | | | | | |
| Tipo de sistema de recuperación de calor | Ninguno | | | | | |
| Rango de caudal máximo (m³/h) | 400 | | | | | |
| Potencia eléctrica de entrada (W) | 60 | | | | | |
| Caudal nominal de referencia (m³/s) | 0.086 | | | | | |
| Presión estática en el punto de salida (Pa) | 50 | | | | | |
| Potencia específica absorbida (SPI) en el punto de referencia (W/(m³/h)) | 0.113 | | | | | |
| Tipología de control | Control local | | | | | |
| Rangos máximos de fuga externa (%) | 2.7 | | | | | |
| Tipología declarada | RVU UVU | | | | | |
| Nivel de potencia acústica (dB(A)) | 64 | | | | | |
| The annual electricity consumption (AEC) (kWh/a) | Cold | | Average | | Warm | |
| | 60 | | 60 | | 60 | |
| The annual heating saved (AHS) (kWh/a) | Cold | | Average | | Warm | |
| | 5536 | | 2830 | | 1280 | |